

Fig. 2.165. Spatial distribution of maximum annual cumulative duration of cold waves/cold spells detected based on  $-12.5^{\circ}\text{C}$  threshold

Distribuția spațială a duratei cumulate maxime anuale a valurilor de frig/perioadelor reci detectate pe baza pragului de  $-12.5^{\circ}\text{C}$

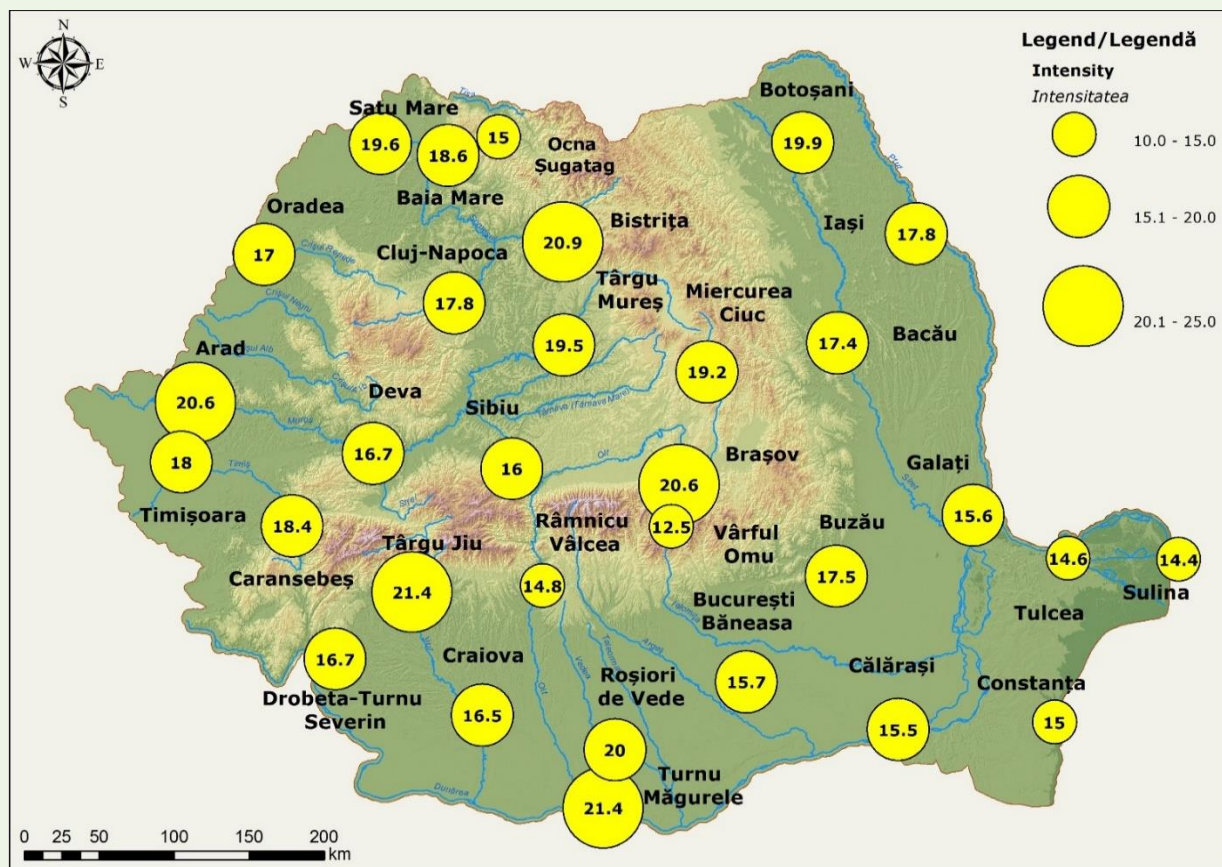


Fig. 2.166. Spatial distribution of maximum annual intensity of cold waves/cold spells detected based on  $-12.5^{\circ}\text{C}$  threshold

Distribuția spațială a intensității maxime anuale a valurilor de frig/perioadelor reci detectate pe baza pragului de  $-12.5^{\circ}\text{C}$

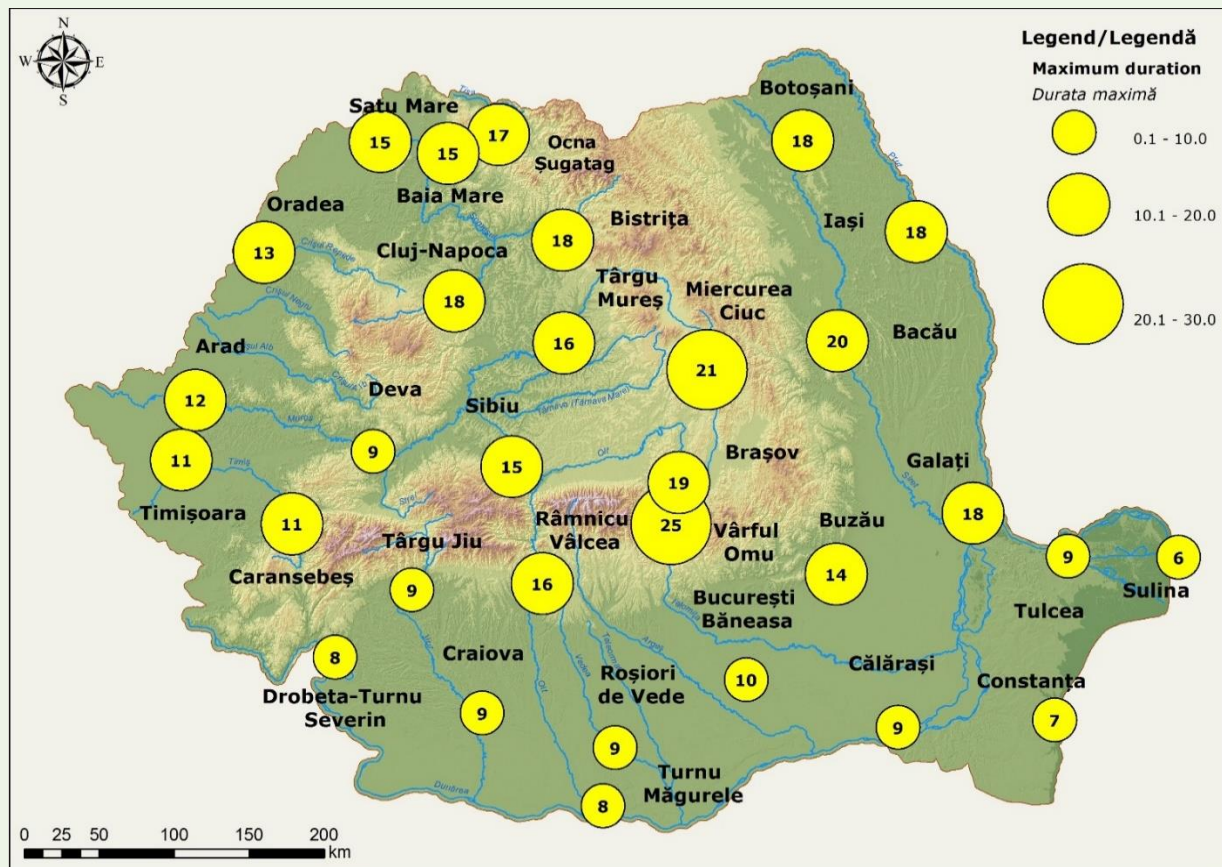


Fig. 2.167. Spatial distribution of maximum annual duration of cold waves/cold spells detected based on  $-12.5\text{ }^{\circ}\text{C}$  threshold  
Distribuția spațială a duratei maxime anuale a valurilor de frig/perioadelor reci detectate pe baza pragului de  $-12.5\text{ }^{\circ}\text{C}$

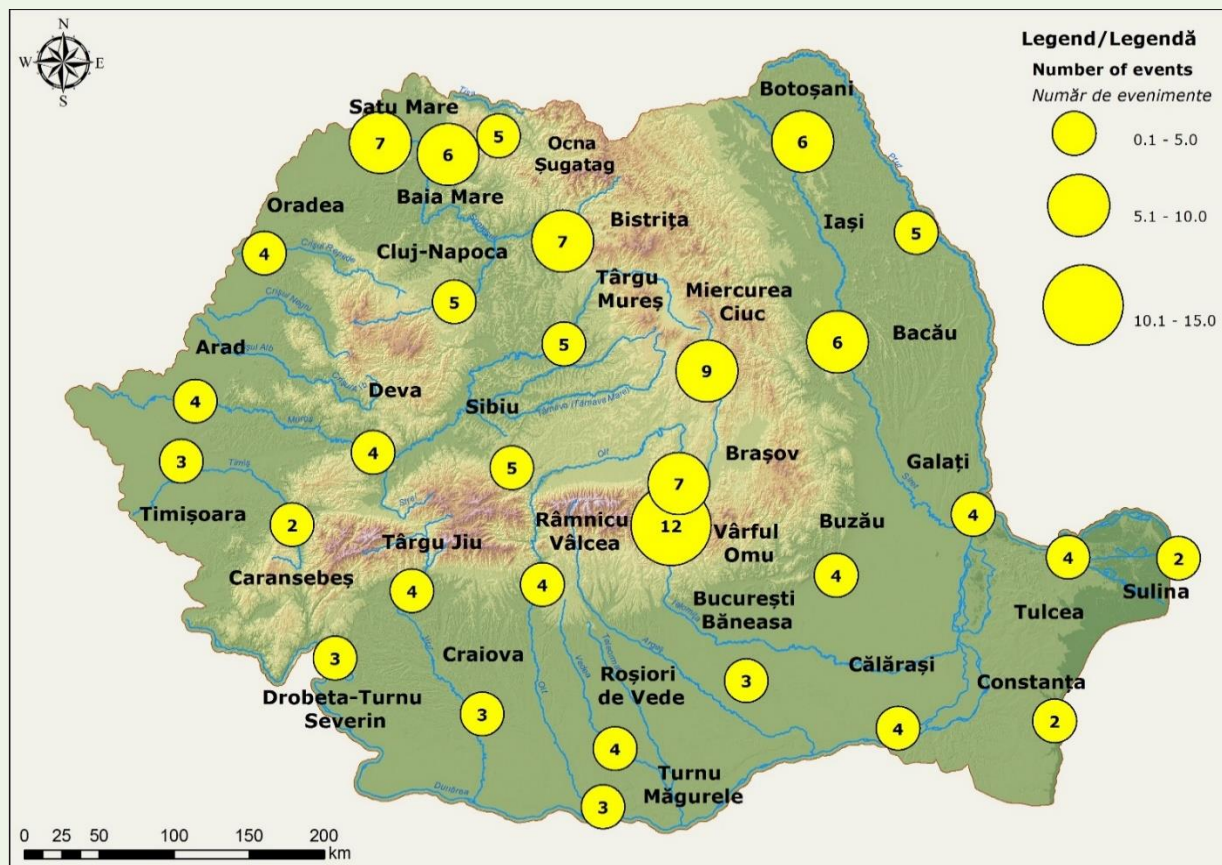


Fig. 2.168. Spatial distribution of maximum annual number of cold waves/cold spells detected based on  $-12.5\text{ }^{\circ}\text{C}$  threshold  
Distribuția spațială a numărului maxim anual al valurilor de frig/perioadelor reci detectate pe baza pragului de  $-12.5\text{ }^{\circ}\text{C}$

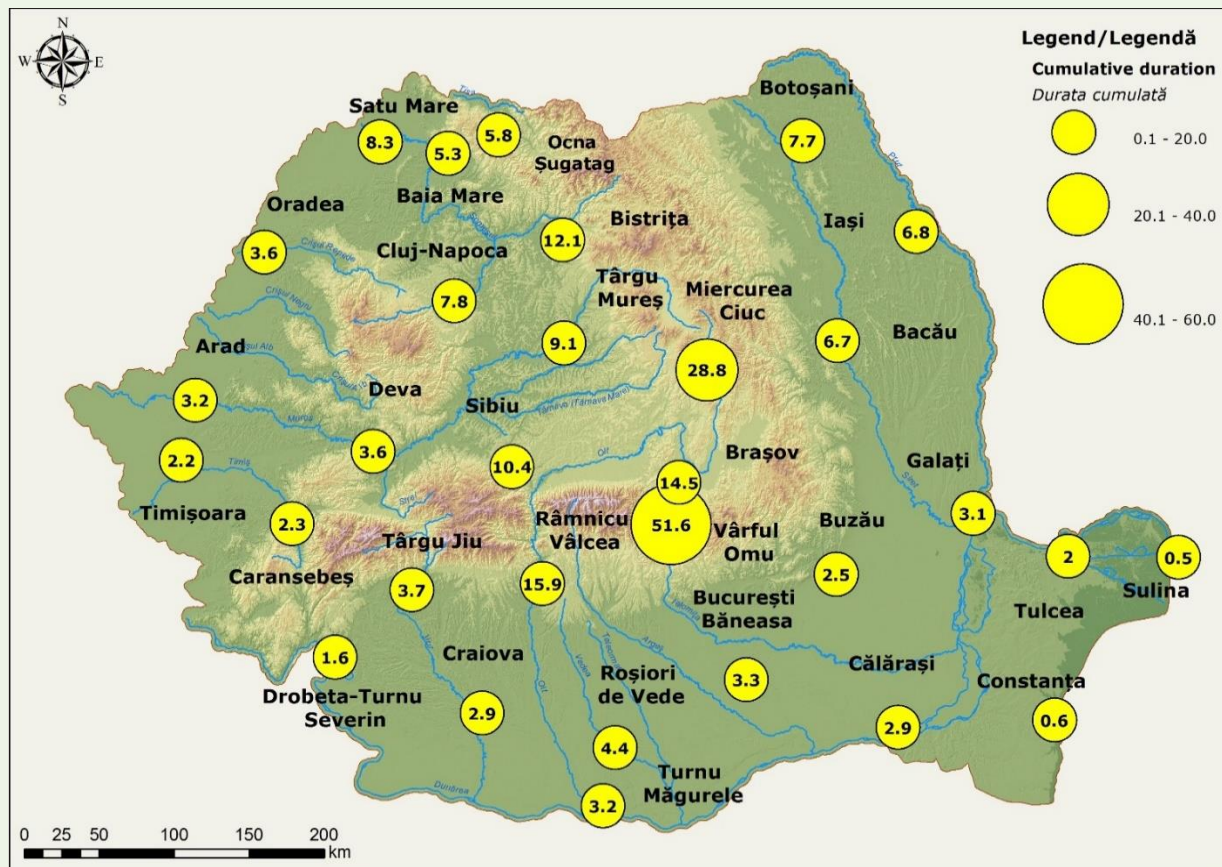


Fig. 2.169. Spatial distribution of mean annual cumulative duration of cold waves/cold spells detected based on  $-12.5^{\circ}\text{C}$  threshold

Distribuția spațială a duratei cumulate medii anuale a valurilor de frig/perioadelor reci detectate pe baza pragului de  $-12,5^{\circ}\text{C}$

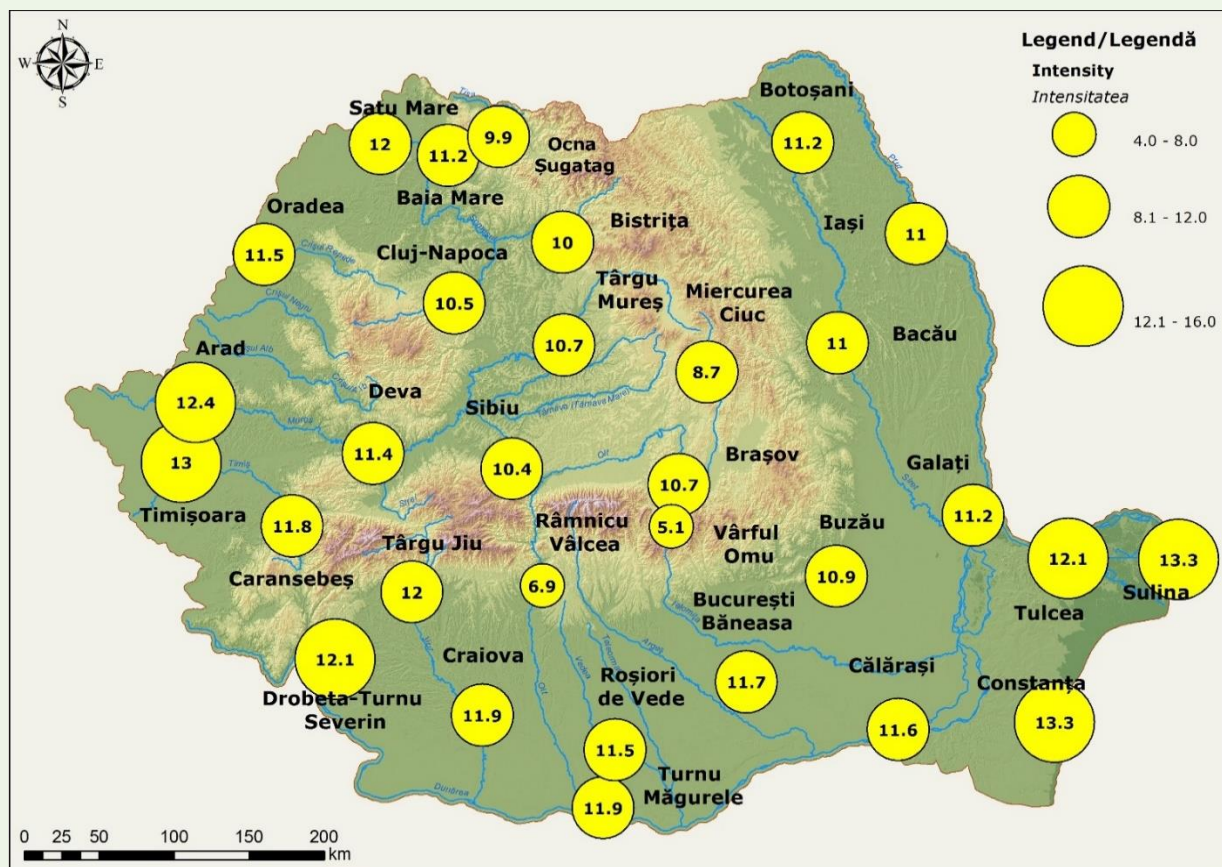


Fig. 2.170. Spatial distribution of mean annual intensity of cold waves/cold spells detected based on  $-12.5^{\circ}\text{C}$  threshold

Distribuția spațială a intensității medii anuale a valurilor de frig/perioadelor reci detectate pe baza pragului de  $-12,5^{\circ}\text{C}$

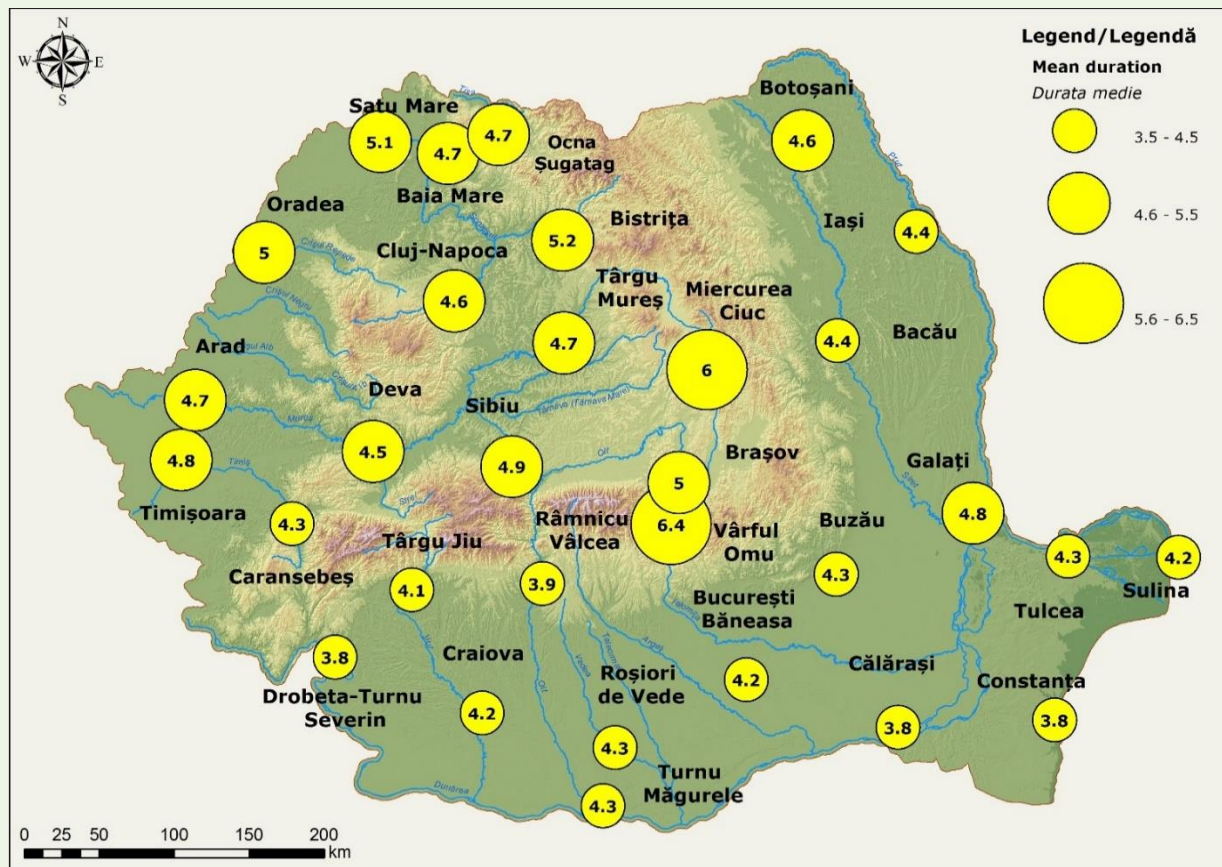


Fig. 2.171. Spatial distribution of mean annual duration of cold waves/cold spells detected based on  $-12.5^{\circ}\text{C}$  threshold  
Distribuția spațială a duratei medii anuale a valurilor de frig/perioadelor reci detectate pe baza pragului de  $-12,5^{\circ}\text{C}$

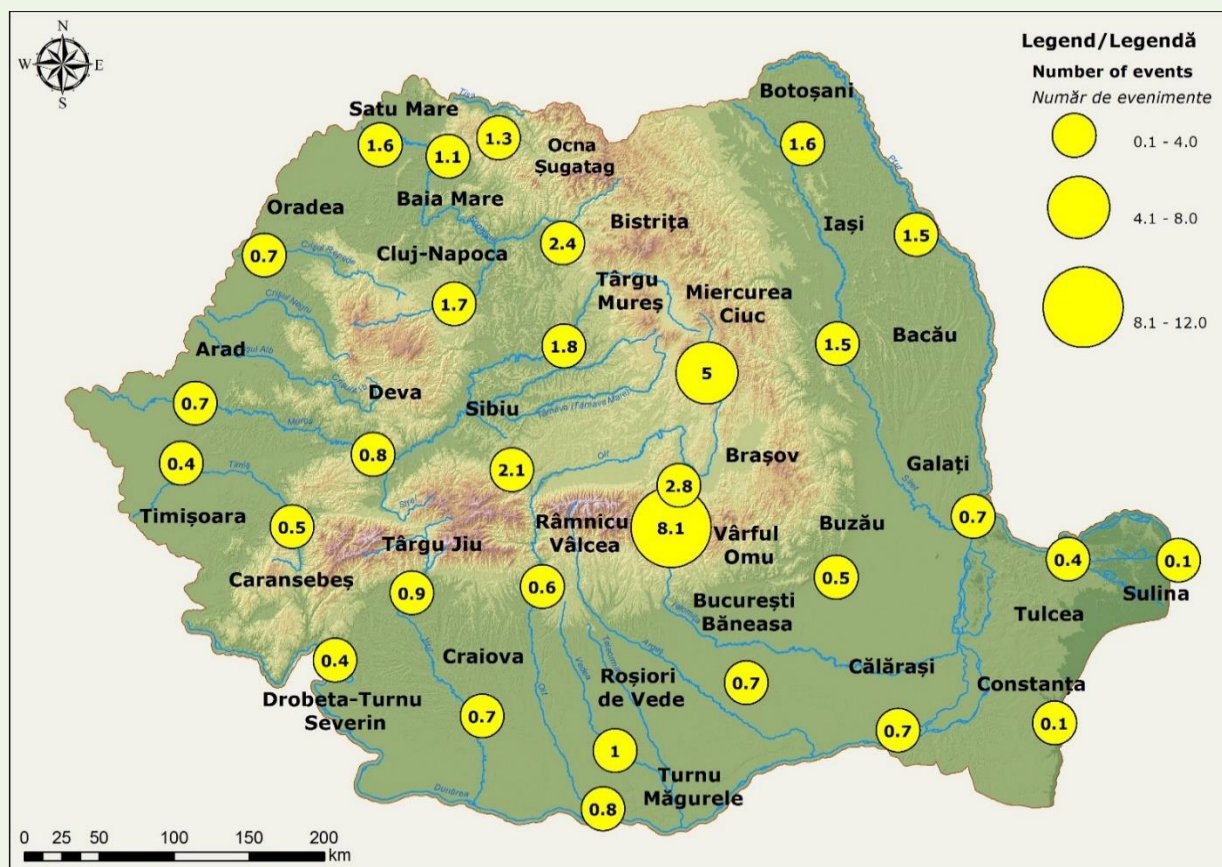


Fig. 2.172. Spatial distribution of mean annual number of cold waves/cold spells detected based on  $-12.5^{\circ}\text{C}$  threshold  
Distribuția spațială a numărului mediu anual al valurilor de frig/perioadelor reci detectate pe baza pragului de  $-12,5^{\circ}\text{C}$

### CWs\_ISTORICE\_PragFix\_15Max

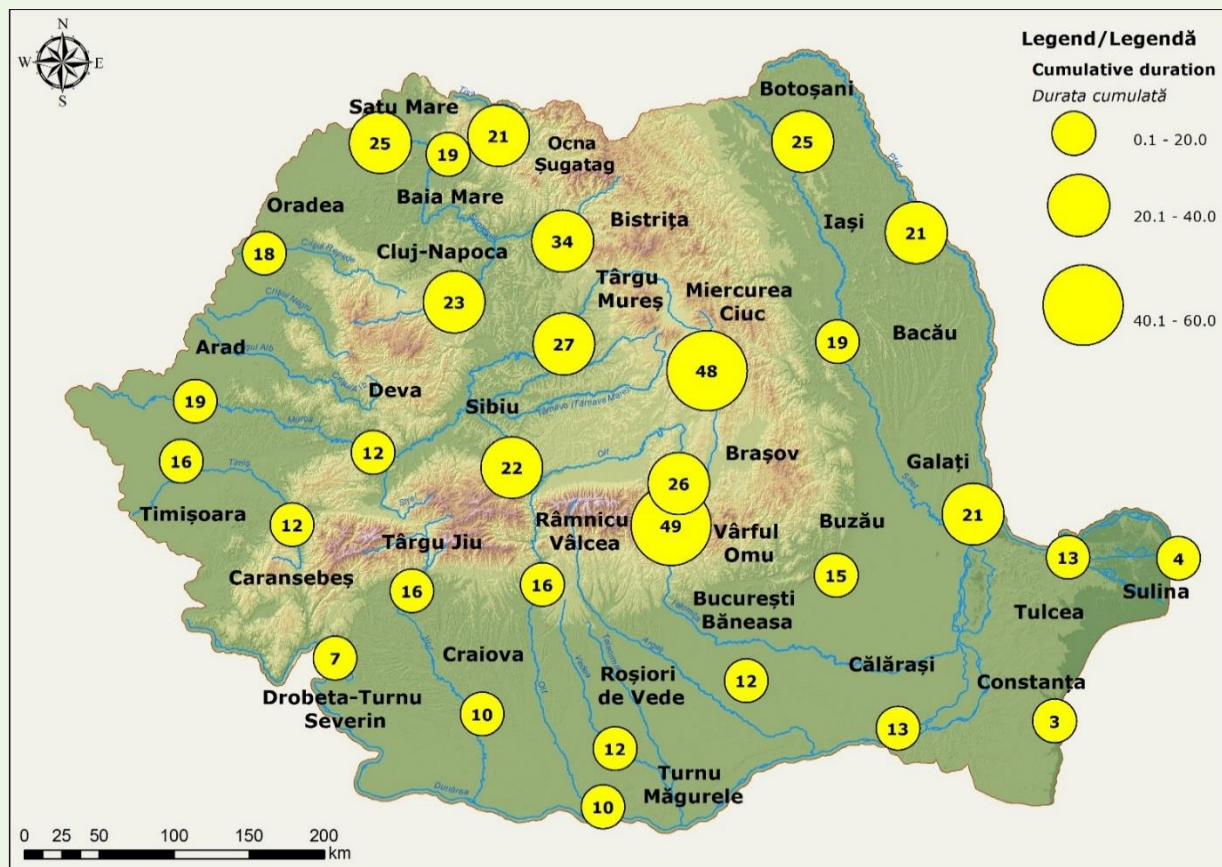


Fig. 2.173. Spatial distribution of maximum annual cumulative duration of cold waves/cold spells detected based on  $-15.0^{\circ}\text{C}$  threshold

Distribuția spațială a duratei cumulate maxime anuale a valurilor de frig/perioadelor reci detectate pe baza pragului de  $-15,0^{\circ}\text{C}$

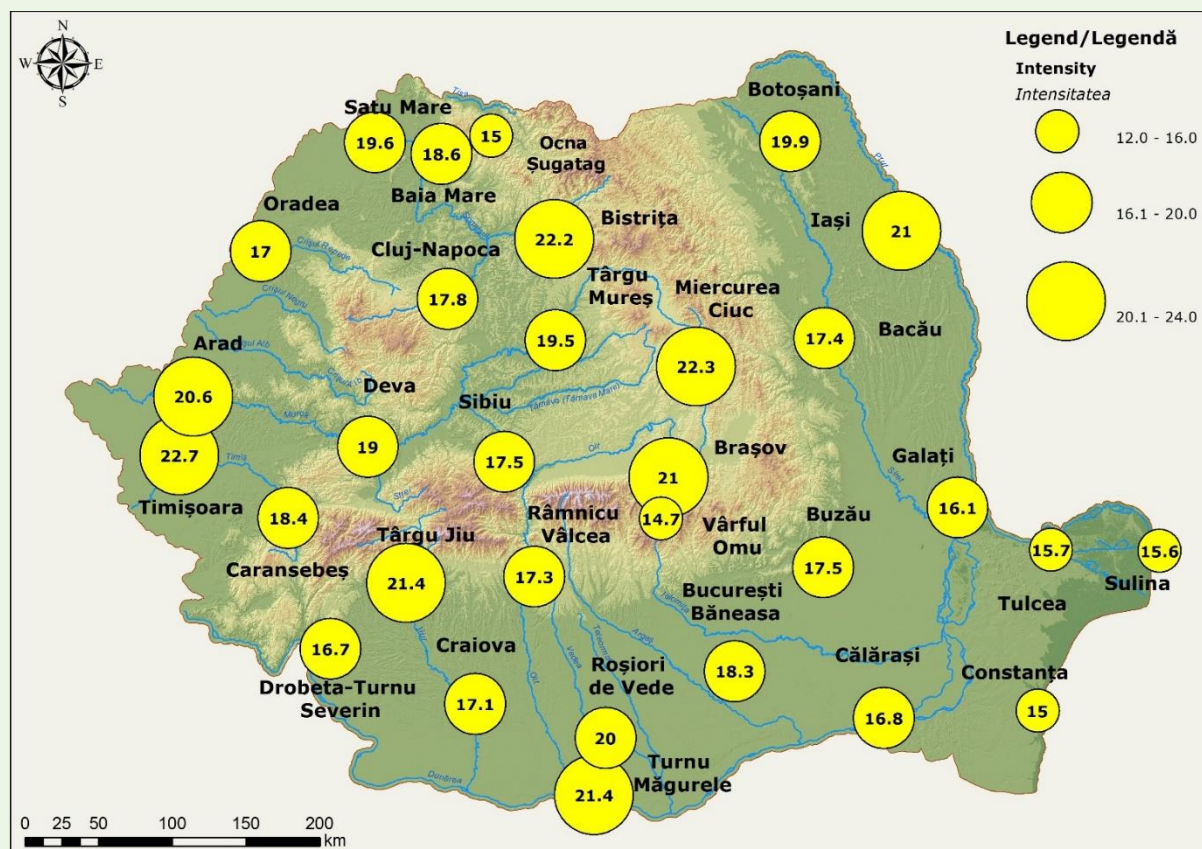


Fig. 2.174. Spatial distribution of maximum annual intensity of cold waves/cold spells detected based on  $-15.0^{\circ}\text{C}$  threshold

Distribuția spațială a intensității maxime anuale a valurilor de frig/perioadelor reci detectate pe baza pragului de  $-15,0^{\circ}\text{C}$

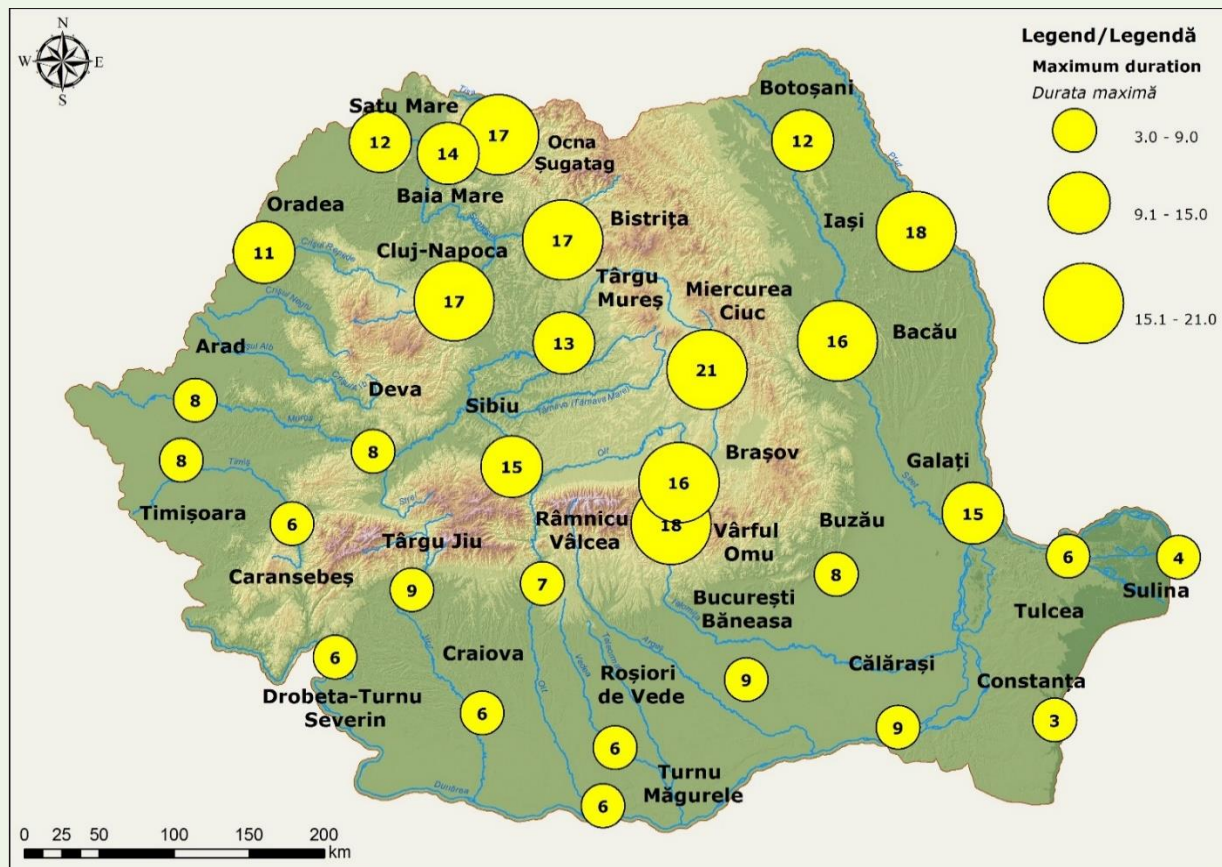


Fig. 2.175. Spatial distribution of maximum annual duration of cold waves/cold spells detected based on  $-15.0\text{ }^{\circ}\text{C}$  threshold  
Distribuția spațială a duratei maxime anuale a valurilor de frig/perioadelor reci detectate pe baza pragului de  $-15,0\text{ }^{\circ}\text{C}$

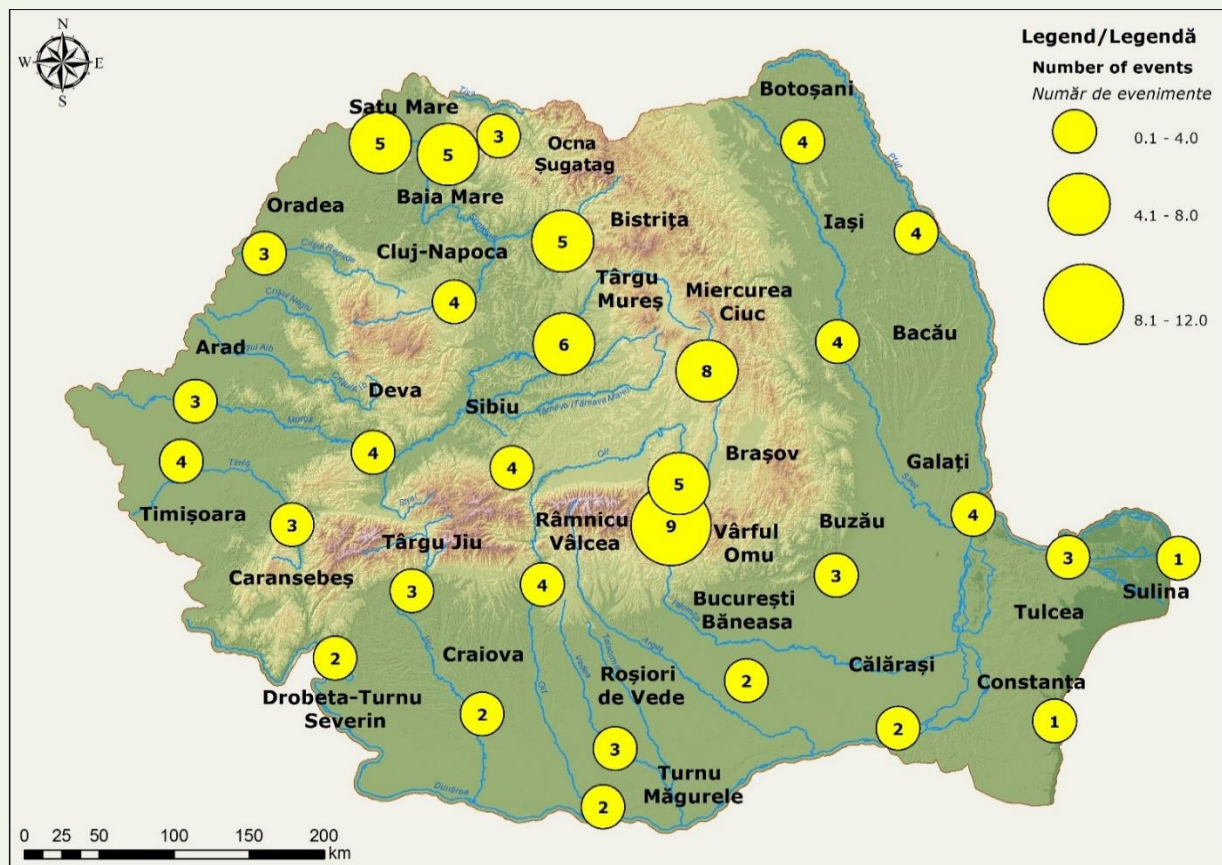


Fig. 2.176. Spatial distribution of maximum annual number of cold waves/cold spells detected based on  $-15.0\text{ }^{\circ}\text{C}$  threshold  
Distribuția spațială a numărului maxim anual al valurilor de frig/perioadelor reci detectate pe baza pragului de  $-15,0\text{ }^{\circ}\text{C}$

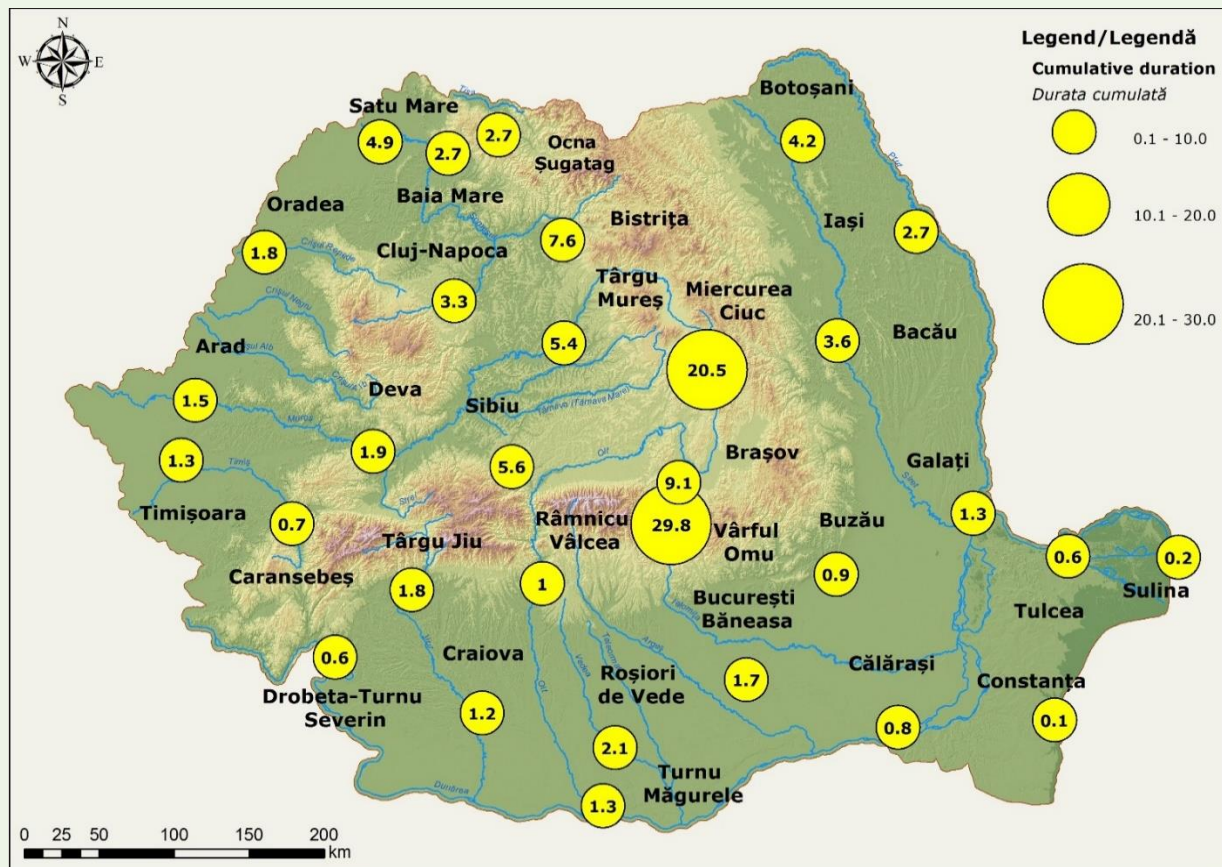


Fig. 2.177. Spatial distribution of mean annual cumulative duration of cold waves/cold spells detected based on  $-15.0^{\circ}\text{C}$  threshold

Distribuția spațială a duratei cumulate medii anuale a valurilor de frig/perioadelor reci detectate pe baza pragului de  $-15,0^{\circ}\text{C}$

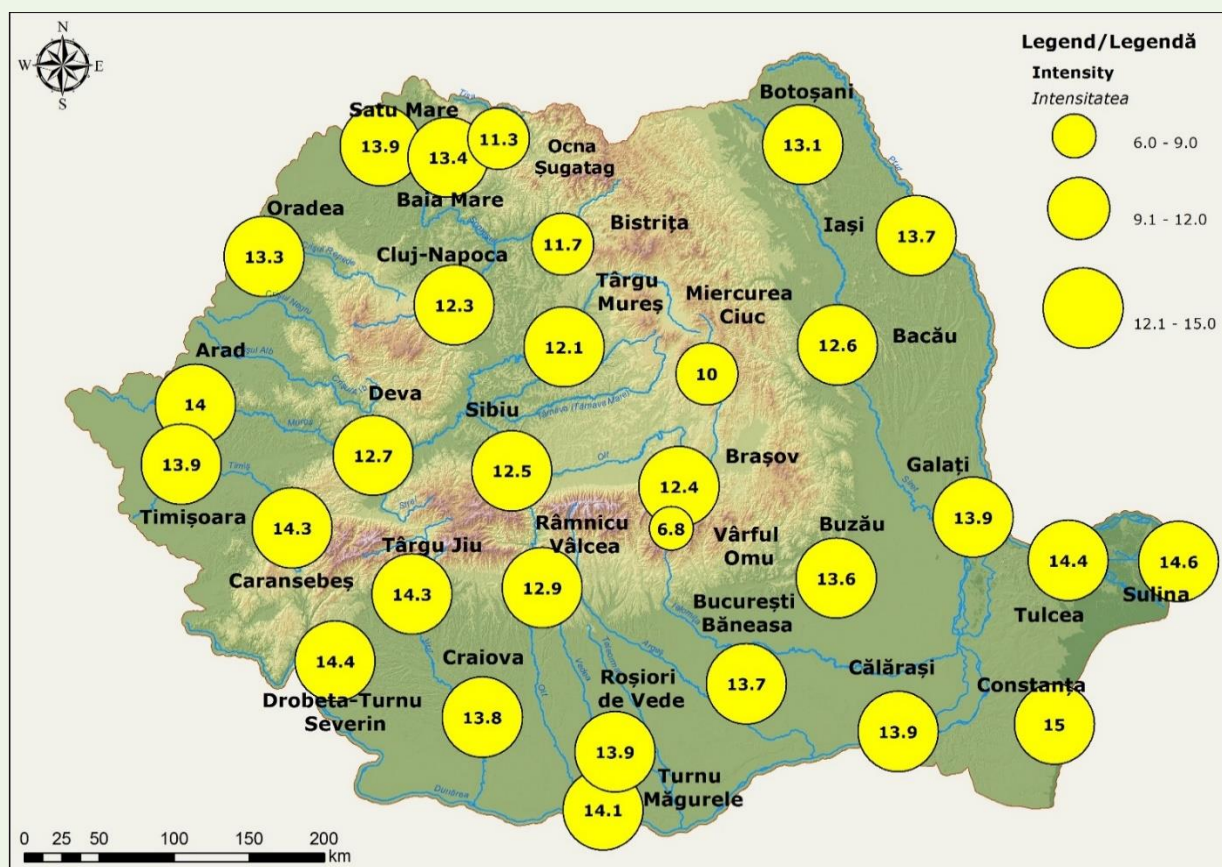


Fig. 2.178. Spatial distribution of mean annual intensity of cold waves/cold spells detected based on  $-15.0^{\circ}\text{C}$  threshold

Distribuția spațială a intensității medii anuale a valurilor de frig/perioadelor reci detectate pe baza pragului de  $-15,0^{\circ}\text{C}$

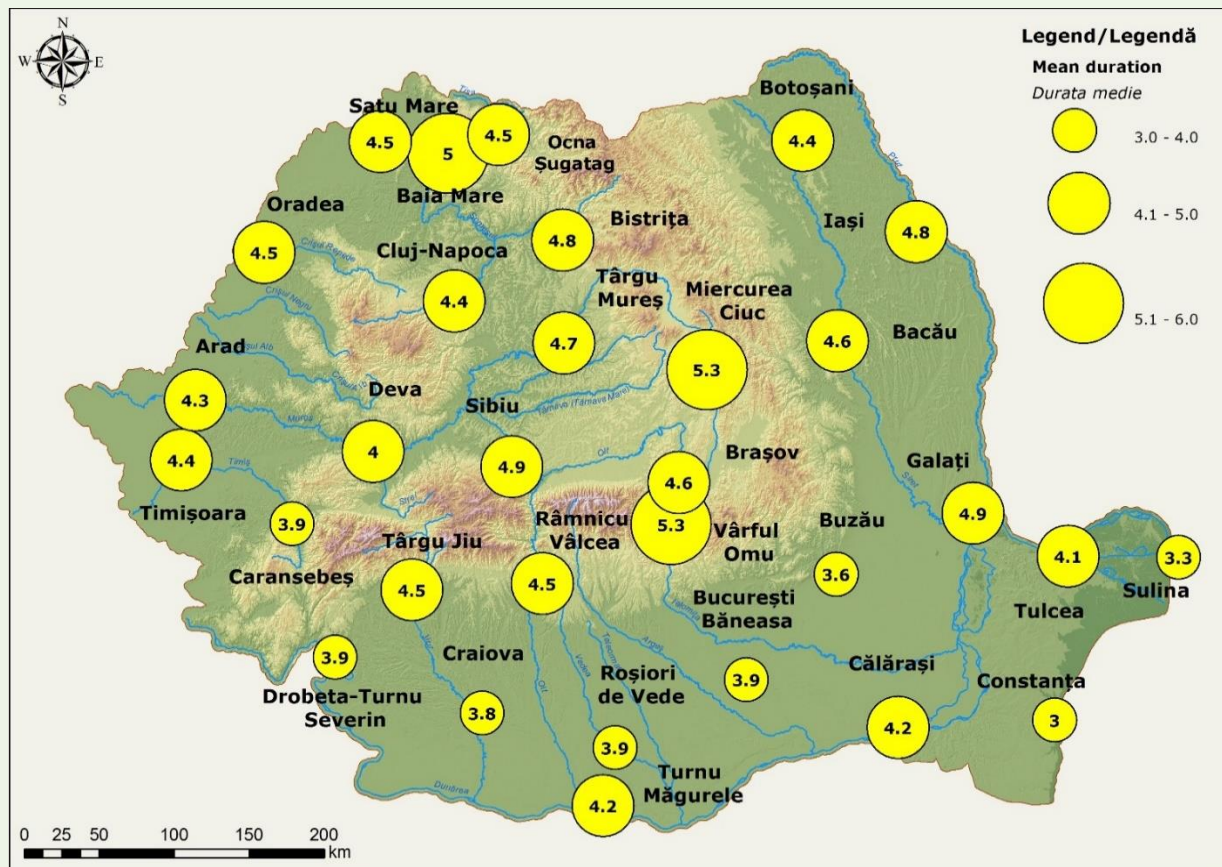


Fig. 2.179. Spatial distribution of mean annual duration of cold waves/cold spells detected based on  $-15.0\text{ }^{\circ}\text{C}$  threshold  
Distribuția spațială a duratei medii anuale a valurilor de frig/perioadelor reci detectate pe baza pragului de  $-15,0\text{ }^{\circ}\text{C}$

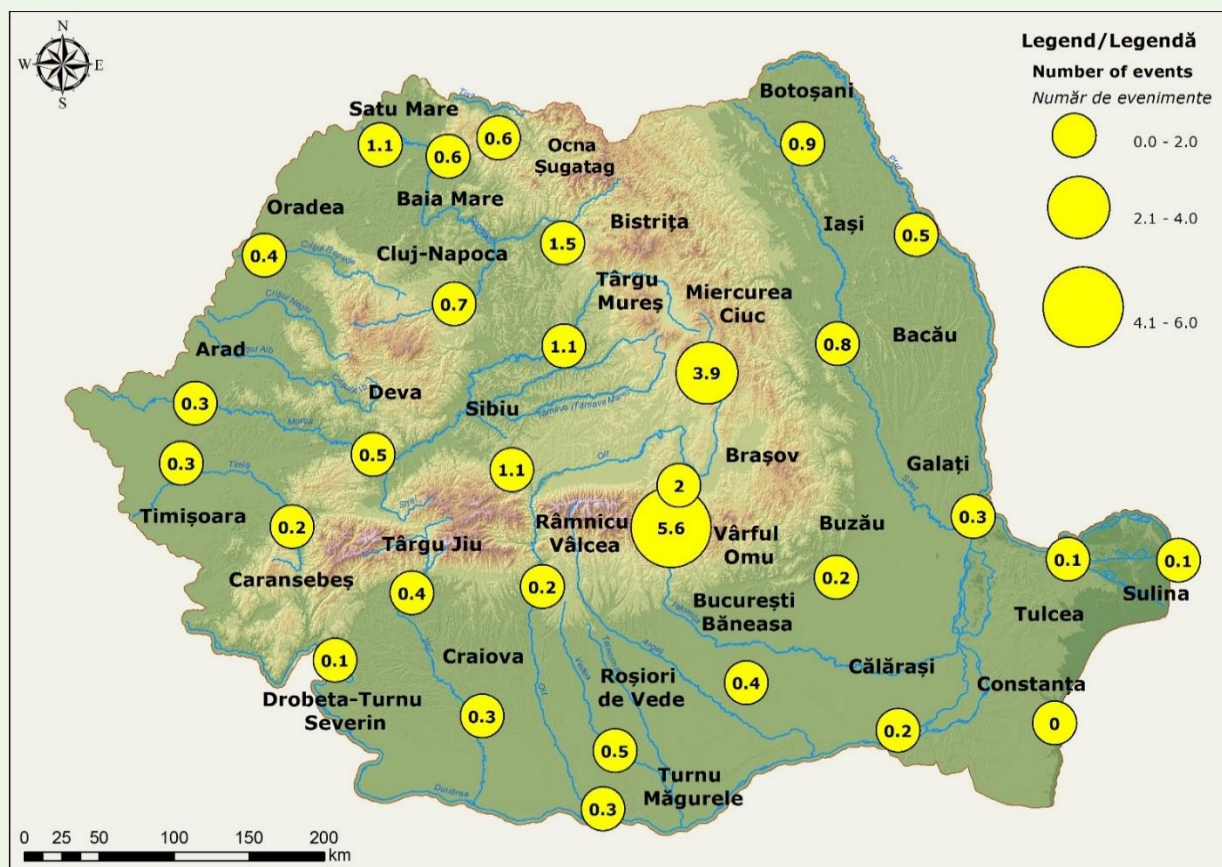


Fig. 2.180. Spatial distribution of mean annual number of cold waves/cold spells detected based on  $-15.0\text{ }^{\circ}\text{C}$  threshold  
Distribuția spațială a numărului mediu anual al valurilor de frig/perioadelor reci detectate pe baza pragului de  $-15,0\text{ }^{\circ}\text{C}$

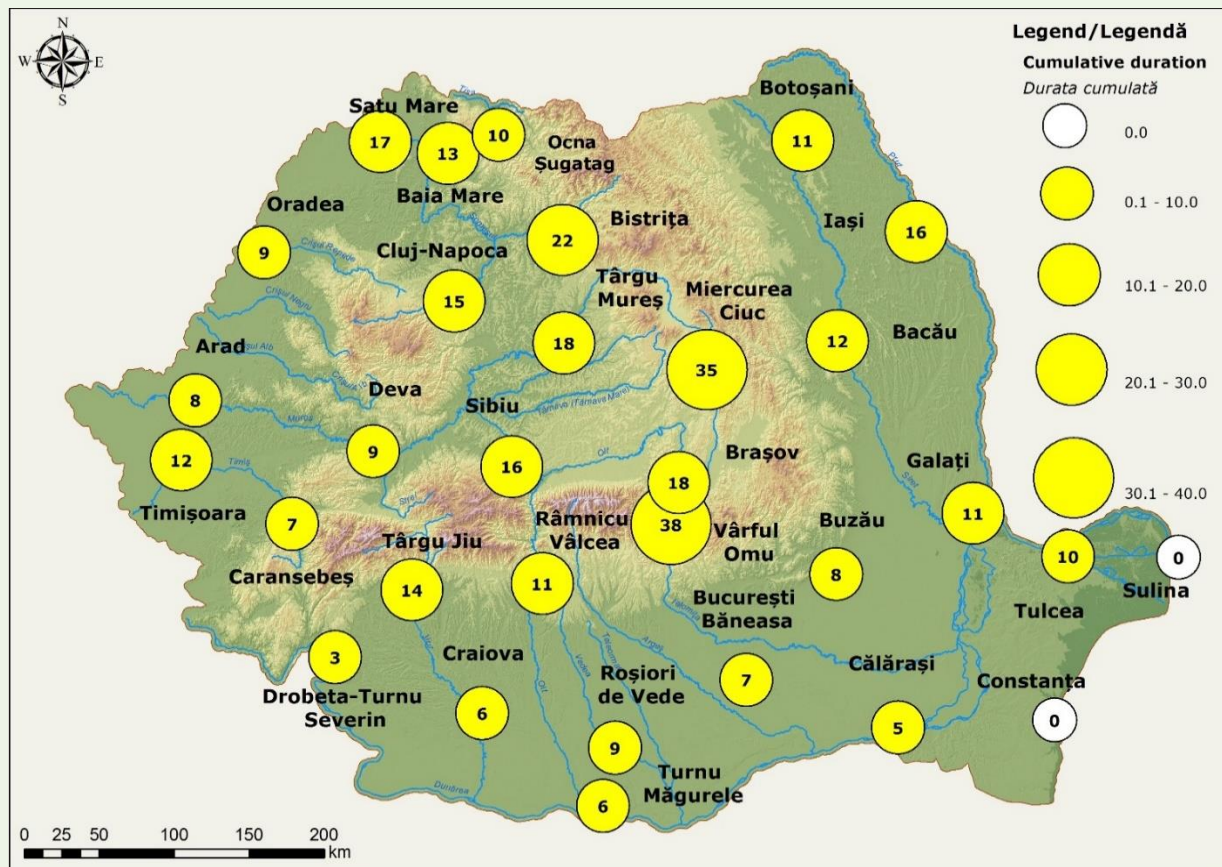


Fig. 2.173. Spatial distribution of maximum annual cumulative duration of cold waves/cold spells detected based on  $-17.5^{\circ}\text{C}$  threshold

Distribuția spațială a duratei cumulate maxime anuale a valurilor de frig/perioadelor reci detectate pe baza pragului de  $-17,5^{\circ}\text{C}$

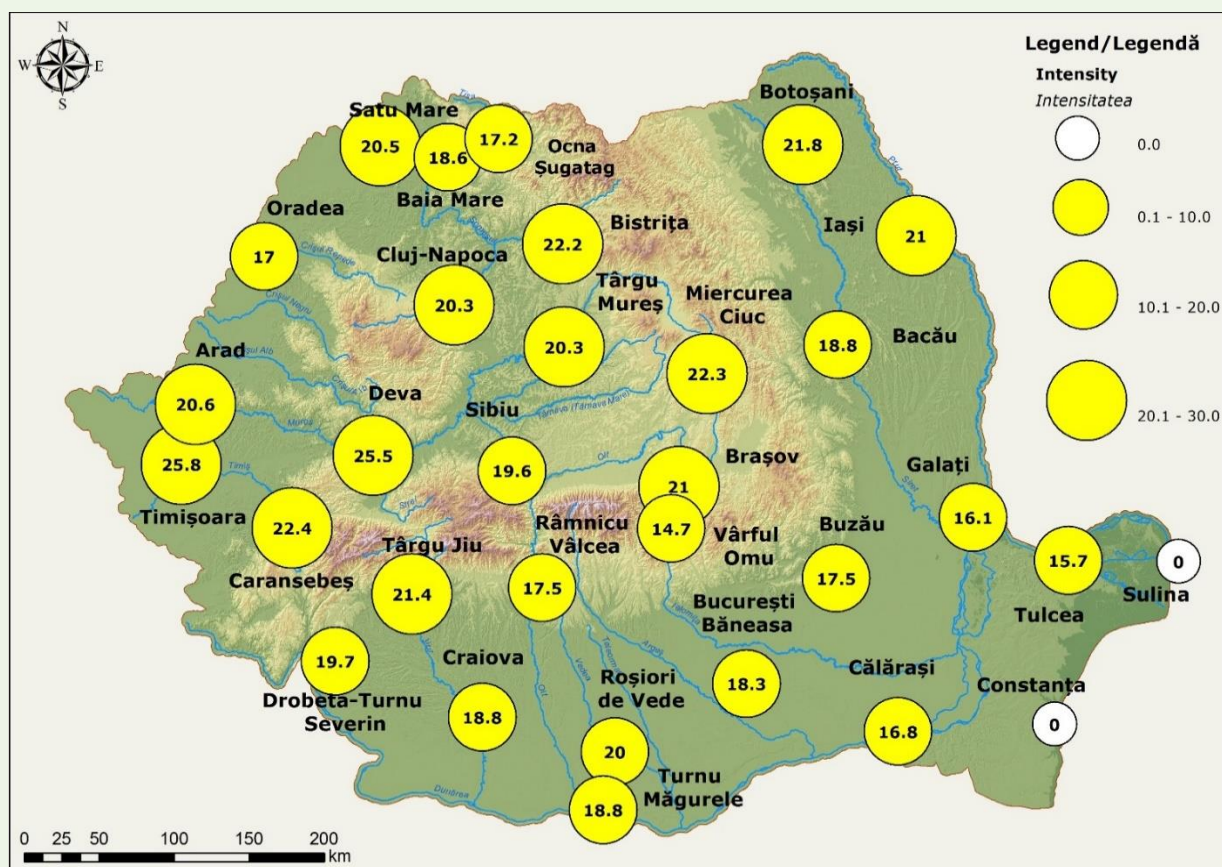


Fig. 2.174. Spatial distribution of maximum annual intensity of cold waves/cold spells detected based on  $-17.5^{\circ}\text{C}$  threshold  
Distribuția spațială a intensității maxime anuale a valurilor de frig/perioadelor reci detectate pe baza pragului de  $-17,5^{\circ}\text{C}$

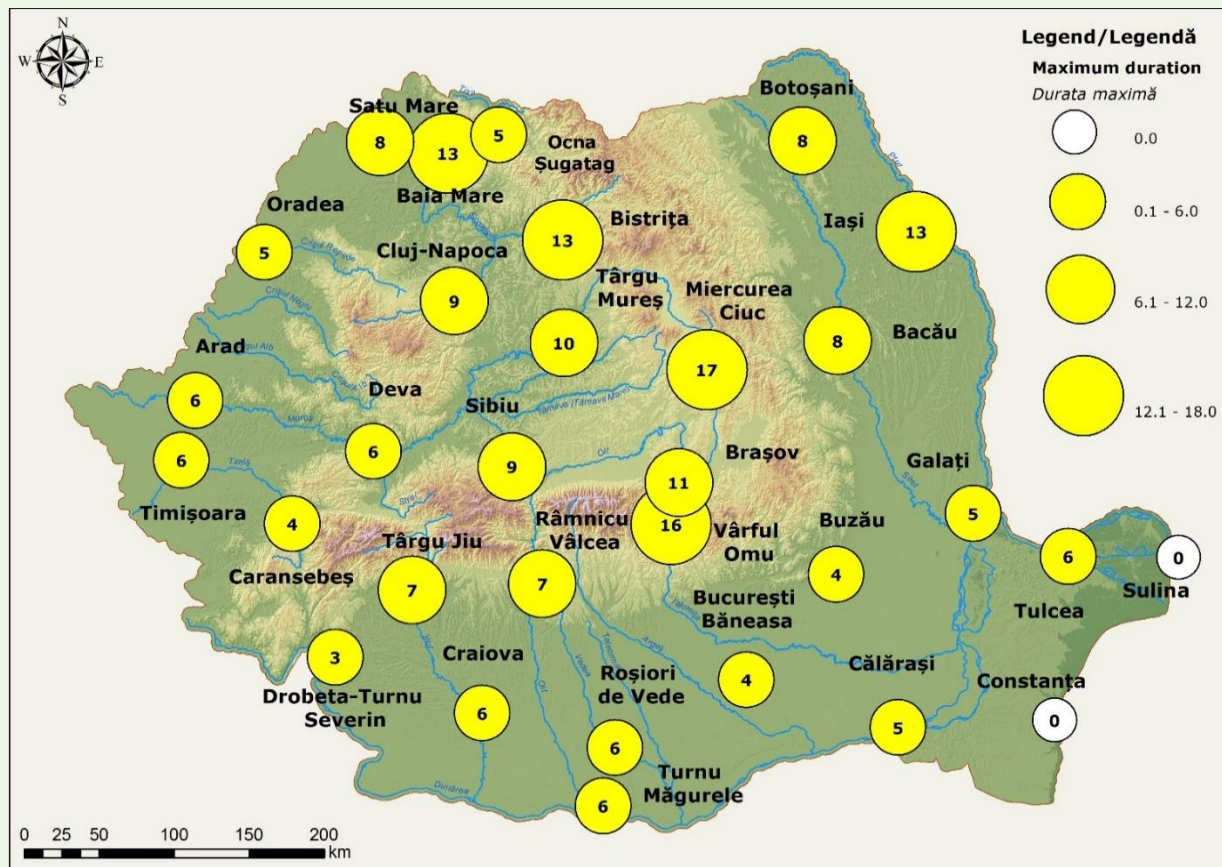


Fig. 2.175. Spatial distribution of maximum annual duration of cold waves/cold spells detected based on  $-17.5^{\circ}\text{C}$  threshold  
Distribuția spațială a duratei maxime anuale a valurilor de frig/perioadelor reci detectate pe baza pragului de  $-17.5^{\circ}\text{C}$

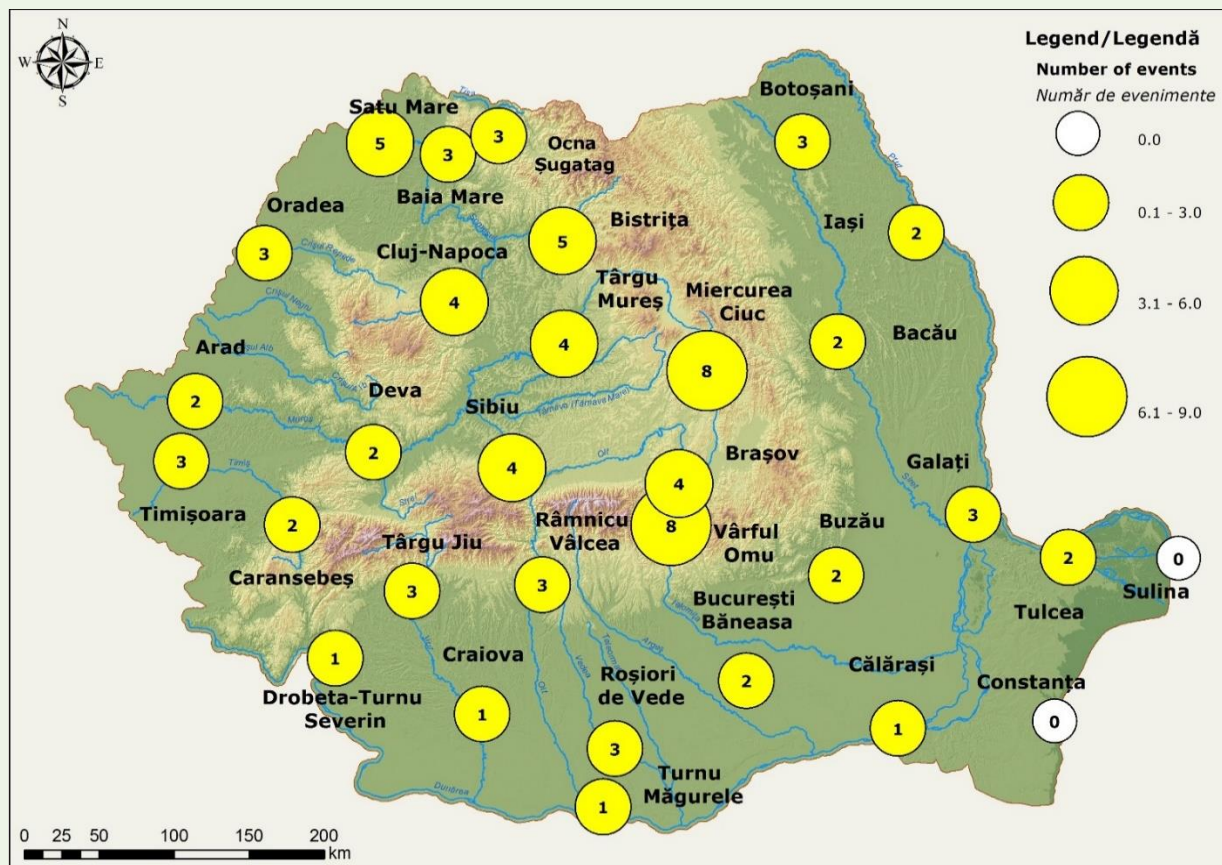


Fig. 2.176. Spatial distribution of maximum annual number of cold waves/cold spells detected based on  $-17.5^{\circ}\text{C}$  threshold  
Distribuția spațială a numărului maxim anual al valurilor de frig/perioadelor reci detectate pe baza pragului de  $-17.5^{\circ}\text{C}$

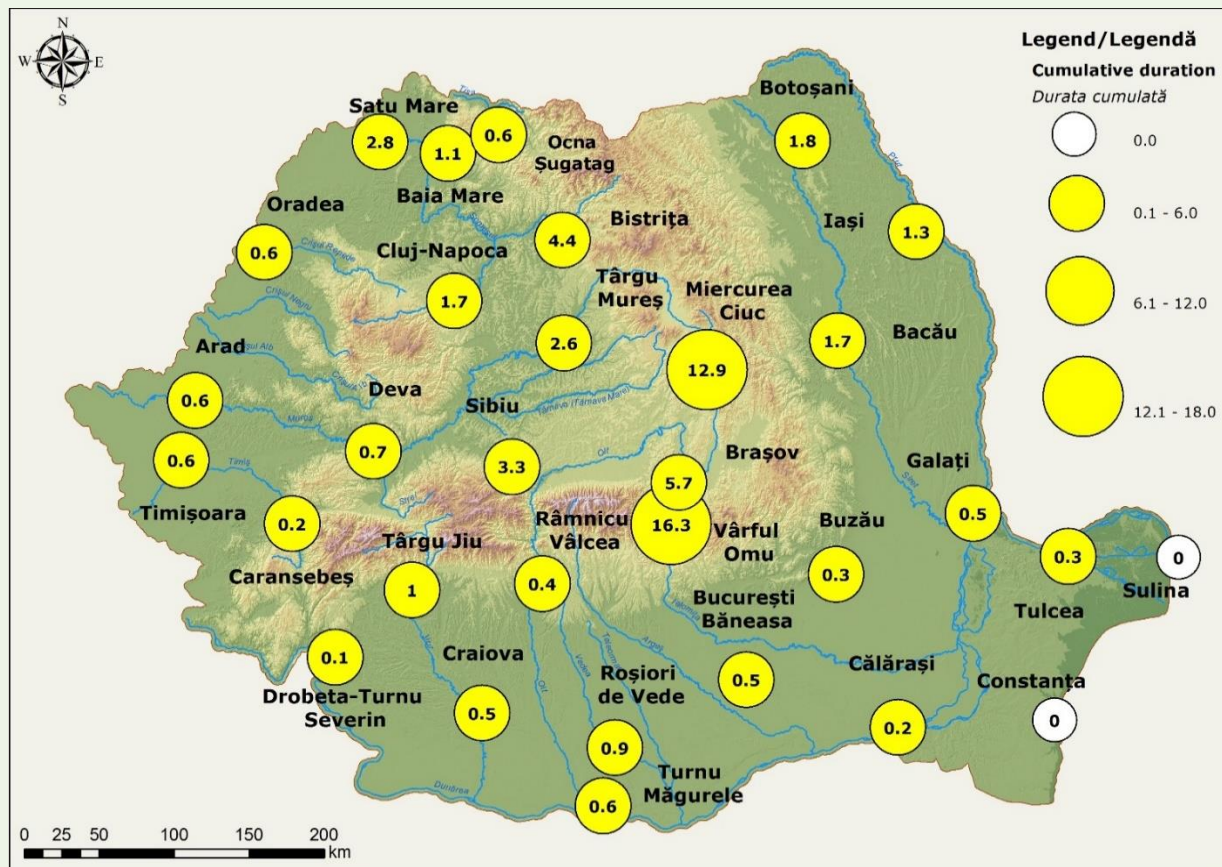


Fig. 2.177. Spatial distribution of mean annual cumulative duration of cold waves/cold spells detected based on  $-17.5^{\circ}\text{C}$  threshold

Distribuția spațială a duratei cumulate medii anuale a valurilor de frig/perioadelor reci detectate pe baza pragului de  $-17,5^{\circ}\text{C}$

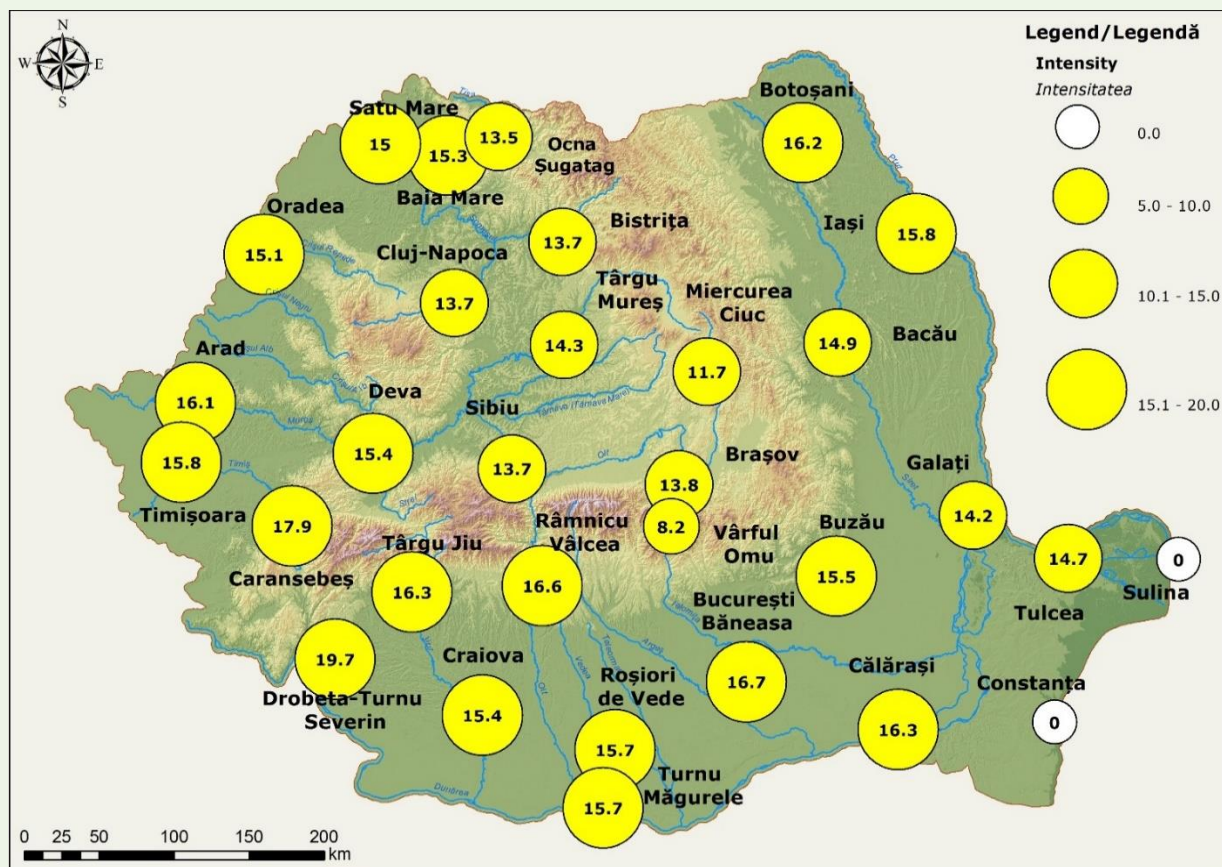


Fig. 2.178. Spatial distribution of mean annual intensity of cold waves/cold spells detected based on  $-17.5^{\circ}\text{C}$  threshold

Distribuția spațială a intensității medii anuale a valurilor de frig/perioadelor reci detectate pe baza pragului de  $-17,5^{\circ}\text{C}$

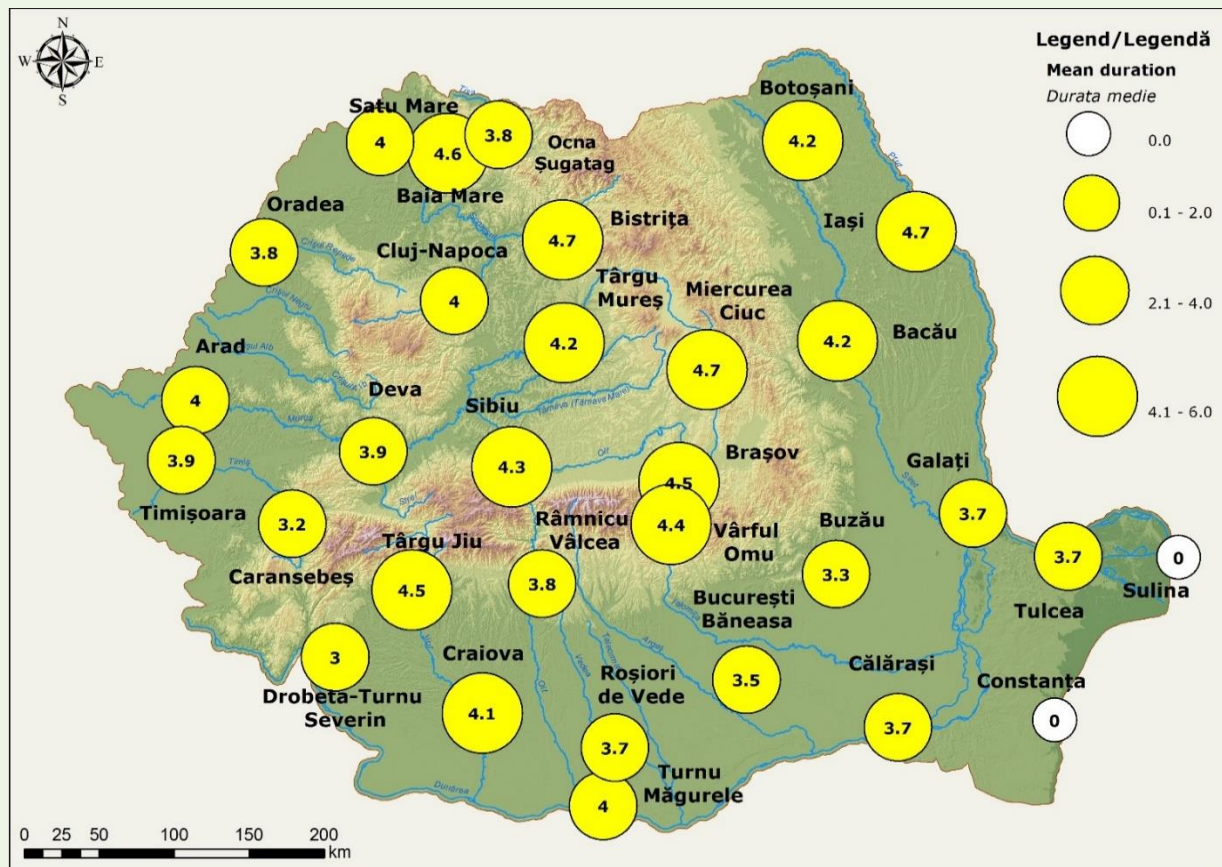


Fig. 2.179. Spatial distribution of mean annual duration of cold waves/cold spells detected based on  $-17.5^{\circ}\text{C}$  threshold  
Distribuția spațială a duratei medii anuale a valurilor de frig/perioadelor reci detectate pe baza pragului de  $-17,5^{\circ}\text{C}$

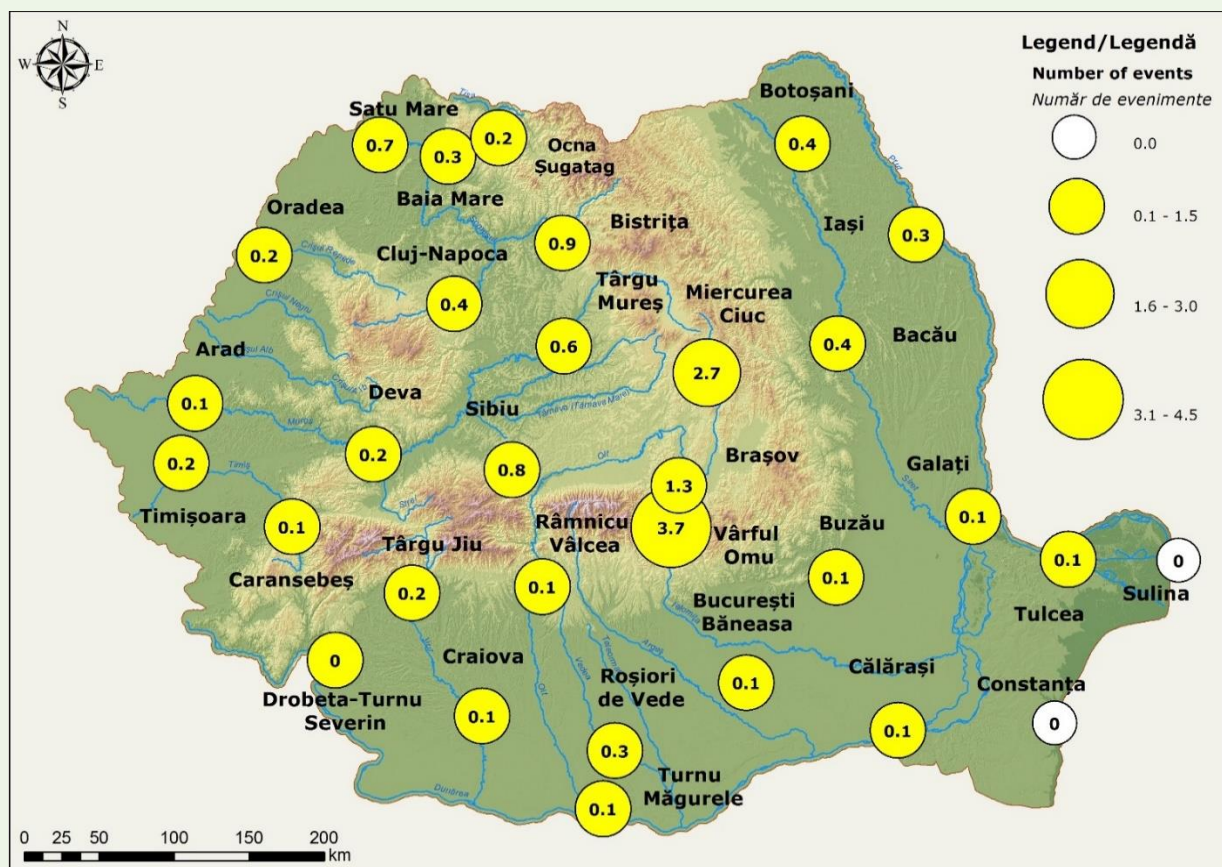


Fig. 2.180. Spatial distribution of mean annual number of cold waves/cold spells detected based on  $-17.5^{\circ}\text{C}$  threshold  
Distribuția spațială a numărului mediu anual al valurilor de frig/perioadelor reci detectate pe baza pragului de  $-17,5^{\circ}\text{C}$